

# الفصل الثالث

## مقدمة عن تركيب الألياف

### An Introduction to Fibre Structure

يتناول الفصل الثالث الموضوعات الآتية : طرق فحص تركيب الألياف ، الخصائص الضوئية المتباينة Optical anisotropy للألياف الطبيعية والتركيبية والألياف المرتبة highly oriented fibers جزيئاتها ترتيباً منتظاماً تلك التي تميز بقيمة عالية للانكسار المزدوج ، والتركيب الطبيعي للألياف التركيبية والألياف البصرية .

#### ١/٣ - طرق فحص تركيب الألياف :

##### Methods of investigating the structure of fibres

نها على قائمة بالطرق المختلفة المستخدمة لهذا الغرض :

- أ- الميكروскоп الضوئي .
- ب- الميكروскоп الإلكتروني الماسح .
- ج- الميكروскоп الإلكتروني التفاذ .
- د- حيود الأشعة السينية .
- هـ- ألياف الأشعة تحت الحمراء .
- و- التداخل الضوئي الثاني .
- ز- التداخل الضوئي المتعدد عند النقاد وعند الانعكاس .

ويمكن للقارئ عند استخدام الميكروскоп الضوئي والميكروскоп الإلكتروني أن يرجع إلى المراجع في هذه المجالات مثل: Stoves (1957), Françon (1961), Meredith and Hearle (1959), and Wells (1974)

ويتميز الميكروскоп الإلكتروني الماسح بقدرة تحليل فراغية spatial resolution كبيرة depth of field ، ولذلك فإنه يوفر معلومات تفصيلية عن المعالم التركيبية ويعمق مجاله

للألياف . ويمكن الحصول على معلومات عن بروفيل معامل الانكسار بالنسبة للألياف البصرية بتعريف إحدى نهايتي الشعيرة للتكلل etching باعتبار أن معدله يعتمد على مكونات الشعيرة في الموضع المختلفة .

وعندما يزود микروسکوب الالكتروني الماسح بعطياف الأشعة السينية القادر على فصل مناسب الطاقة ، يمكن الحصول على معلومات كمية عن التأثيرات الناتجة من التغيرات في تركيب الشعيرة من المرجعين الآتيين : – Wells (1974) & Kita et al, (1971).

ويمقارنة خصائص شدة الأشعة السينية الناتجة من فحص شعيرة لعينة عيارية ، يمكن تعين مكونات الشعيرة من العناصر التي لا يزيد رقمها النزى عن الرقم الذرى للبريليوم (Burrus et al., 1973).

وسوف يتناول الفصلان الخامس والتاسع نظرية النظم البصرية للتدخل الضوئي الثنائي وتكونها وأنواع ميكروسكopies التداخل وتطبيقاتها لتعيين الخواص الضوئية للألياف المستخدمة في المنسوجات وكذلك للألياف البصرية المستخدمة في التراسل الضوئي .

كما سيتناول الفصل السادس نظرية هدب التداخل الضوئي المتعدد عند النفاذ عند الانعكاس وتكونها وخصائصها وتطبيقاتها لتعيين الخواص الضوئية للألياف الطبيعية والتركيبية والبصرية .

## ٢/٣- تبادل الخواص الضوئية في الألياف :

### Optical anisotropy in fibres

#### ١/٢/٢- الألياف الطبيعية والتركيبية :

عندما يمر شعاع ضوئي أحادى طول الموجة ومستقطبا استوائيا خلال نظام من الجزيئات المرتبة ، فإنه يعاني انكسارا ، نتيجة تفاعل الضوء مع المادة . ويختلف هذا التفاعل باختلاف المتجه الكهربى electric vector للشعاع الضوئي الساقط المستقطب استوائيا . ولهذا المتجه الكهربى اتجاهان هما :

١- في اتجاه محور الشعيرة .

٢- في الاتجاه العمودي عليه .

وتعرف المادة في هذه الحالة بأنها متباعدة الخواص الضوئية optically anisotropic ويكون لها انكسار مزدوج - أي قيمتان لمعامل الانكسار ، أحدهما للضوء المستقطب في اتجاه مواز لمحور الشعيرة والأخر في الاتجاه العمودي عليه - ويقاس الانكسار المزدوج birefringence بالفرق بين قيمتي معامل الانكسار المذكورين . ويتراكب الألياف الطبيعية والتركيبة من جزيئات انتظمت في سلاسل طويلة ، تقع على امتداد محور الشعيرة ، وتكون السلاسل في بعض الألياف موازية تماماً في أغلبها للمحور ، وتقد هذه الصفة في ألياف أخرى .

وتختلف الخصائص الضوئية للألياف باختلاف اتجاه انتشار الأشعة بالنسبة لمحور الشعيرة ، ويصل الاختلاف في هذه القيم إلى الحد الأقصى عند استخدام ضوء مستقطب في اتجاه مواز للمحور وفي الاتجاه العمودي عليه ، وتوجد علاقة مباشرة بين الخصائص الضوئية للألياف والخصائص الضوئية لجزيئات المكونة لهذه الألياف ، إذ أن التفاعلات الداخلية بين الجزيئات المجاورة المكونة لهذه الألياف ضئيلة للغاية ويكون معامل انكسار مادة الشعيرة للضوء المستقطب في أي اتجاه مساوياً لمجموع خصائص الجزيئات المكونة لهذه الألياف في نفس الاتجاه (Bunn, 1949) ولدراسة الخواص الضوئية للألياف يستخدم ضوء مستقطب في اتجاه مواز لمحور الشعيرة وكذلك في الاتجاه العمودي عليه ، وتوجد عدة طرق لتعيين معامل انكسار الألياف من بينها طريقة الحد الفاصل لبيك (Becke line) وطرق التداخل الضوئي .

وتعطى طريقة الحد الفاصل لبيك معامل انكسار القشرة الخارجية للشعيرة التي قد تختلف في تركيبها عن الأجزاء الداخلية للشعيرة (Hartshorne and Stuart, 1970) ، وفي طريقة بيك تفسم الشعيرة في سائل معروف معامل انكسار مادة يوضع على شريحة زجاجية ، ويظهر خط مضى عند الحد الفاصل للشعيرة والسائل . وبملاحظة هذه الظاهرة بميكروскоп ضوئي نجد أن هذا الخط المضى يتحرك في اتجاه الوسط ذو معامل الانكسار الأعلى وذلك عند رفع العدسة الشينية للميكروскоп قليلاً ، أي بزيادة البعد بين الشعيرة والعدسة الشينية ويمكن دراسة أنواع الألياف المختلفة والتي لها معاملات انكسار متباعدة باستخدام مجموعة سوائل لها معاملات انكسار عيارية . ويختفي الخط المضى عندما

يتساوى معامل انكسار السائل والشعيرية ، ويسمى هذا السائل بسائل المضاهاة matching liquid ويعين معامل انكسار الشعيرية للضوء المستقطب أحادي طول الموجة المستخدم . والانكسار المزدوج للألياف (birefringence  $\Delta n$ ) يساوى الفرق بين معاملي الانكسار  $n^{\parallel}$  في اتجاه محور الشعيرية ،  $n^{\perp}$  في الاتجاه العمودي عليه :

$$\Delta n = n^{\parallel} - n^{\perp}$$

ويتطبيق طرق التداخل الضوئي الثنائي والمتمدد - التي سنتناولها في الفصلين الخامس والسادس - يمكن تعين معاملات انكسار لب الشعيرية core وقشرتها cladding ، وكذلك معاملات الانكسار المزدوج لها  $\Delta n_s$  ،  $\Delta n_c$  للب الشعيرية وقشرتها على الترتيب .

وقدم "Kuhn and Grün" ١٩٤٢ أول نظرية تربط بين التركيب الجزيئي للبلمرات أحادية المحور البصري uniaxially oriented polymers وخصائصها الضوئية الناتجة من تباين خصائصها التركيبية . وعند سحب الألياف التركيبية من مصهور بعض البلمرات عن طريق الانشقاق من ثقب نقيمة يتم تكوين هذه الألياف وتكون في أغلبها متماثلة isotropic الخواص الفيزيائية ، ونعني بذلك ثبوت خصائصها وعدم تغيرها مع الاتجاه داخل الشعيرية ، ثم يتم سحب هذه الألياف ميكانيكيا للحصول على ألياف قوية تصلح للاستخدام فى الأغراض الصناعية ، وتكتسب هذه الألياف المسحبوبة خصائص ضوئية وميكانيكية غير متماثلة (anisotropy) ، وتعتمد درجة عدم التمايز على مقدار الشد المستخدم فى السحب . وتعطى قيم معاملات الانكسار المترسبة  $\frac{1}{a} \Delta n$  ،  $\Delta n_s$  والانكسار المزدوج المتوسط  $\Delta n_g$  للألياف معلومات هامة ومحيرة يتم على أساسها توصيف هذه الألياف .

### معاملات الانكسار واستقطابية الروابط الكيميائية

#### Refractive indices and bond polarisability

إن لتعيين الخواص الضوئية المتباينة للألياف أهمية كبيرة ، حيث تقدم هذه الخواص معلومات عن درجة انتظام الجزيئات بالنسبة لمحور الشعيرية ، وبؤدي ذلك إلى التعرف على تأثير المعاملات الكيميائية والميكانيكية على الألياف وتقديرها . ولهذه المعلومات ارتباط كبير في ابتكار طرق حديثة لضبط الجودة في كثير من الصناعات . ولقد قدم "Denbigh"

١٩٤٠ طريقة لتقدير الخواص المتباعدة للجزئيات molecular anisotropy تعتمد على مفهوم استقطابية الروابط الكيميائية وعلى حساب القيمة الاستقطابية لكل رابطة في جميع أنواع الروابط الكيميائية الموجودة في تركيب معين ، وفي معالجتها لهذا الموضوع اعتبر "Denbigh" أن كل رابطة كيميائية لها استقطابيتها ، وأن استقطابية الجزيئات هي حقيقة تجمع إسهام جميع هذه الروابط . وتسمح هذه الطريقة بحساب معامل الانكسار المركب ما . ولا يجمع متوسط استقطابية كل رابطة عندما تكون لها اتجاهات مختلفة كما هو الحال في البلورات متباعدة الخواص anisotropic ، إذ أنه من الضروري في هذه الحالة إدخال الاختلاف في الاتجاه في الاعتبار باستخدام مجسم على شكل قطع ناقص يدور حول أحد محوريه الأساسيين ellipsoid polarisability .

وتعطى المعادلة الآتية - Bunn, 1961 - الاستقطابية  $\alpha$  في اتجاه معين لجزئي متعدد النرات : polarisability ellipsoid

$$\alpha = \sum \alpha_L \cos^2 \theta + \sum \alpha_T \sin^2 \theta$$

وتجمع لكل الروابط . حيث  $\theta$  هي الزاوية بين الرابطة والاتجاه المعين ،  $\alpha_L$  ،  $\alpha_T$  مما الاستقطابية الطولية والعرضية على الترتيب .

وتنطبق هذه المعادلة على حالة بلورة حيث يمكن حساب الاستقطابية في اتجاه أساسى . ويحسب معامل الانكسار في هذا الاتجاه من الاستقطابية باستخدام معادلة Lorentz

$$\frac{n^2 - 1}{n^2 + 2} \frac{M}{d} = \frac{4}{3} \pi N \alpha_K : Lorenz$$

حيث  $n$  معامل الانكسار المناسب  $n^{\perp}$  أو  $n^{\parallel}$  أو  $M$  ،  $n$  الوزن الجزيئي لكل وحدة طول ،  $d$  كثافة المادة ،  $N$  عدد أنيونات ،  $\alpha_K$  معامل الاستقطابية لوحدة كاملة متكررة في سلسلة البوليمر .

ولقد حسب "Hamza and Sikorski" (١٩٧٨) معاملات الانكسار والانكسار المزدوج لألياف الـ (PPT) Poly (p-phenylene terephthalamide) باستخدام النموذج الجزيئي لهذا البوليمر الذي قدمه " Northolt" (١٩٧٤) وقيم استقطابية الروابط الكيميائية التي قدمها "Denbigh" (١٩٤٠) و "Bunn and Daubeny" وذلك بالتعويض في صيغة Lorenz-Lorenz .

## ٢/٢/٣ - الألياف التي انتظمت أغلب جزيئاتها في سلسلة موازية لمحور

Highly oriented fibres

الشعيره :

تبعد ألياف الـ PPT المذكورة في الفقرة السابقة مجموعة الألياف المرتب أغلب جزيئاتها ترتيباً منتظماً ، وبالتالي تميز بقيم عالية للانكسار المزدوج . ويمكن للشعيره التي لها معامل إجهاد tensile modulus أعلى من  $40 \text{ GN m}^{-2}$  أن تصنف على أنها ألياف ذات ترتيب عال للجزيئات . ويترسخ طبقاً لهذا التحديد أن ألياف النسيج التقليدية والمتضمنة ألياف النايلون ذات قوة الشد العالية high-tenacity ، وألياف البولي استر لا تدخل ضمن هذه المجموعة من الألياف .

ويعطى الدراسات التي قدمها "Keller" (١٩٦٨) على بلوره البوليمر والتي توضح قابلية البوليمر لتكوين بلورات ذات سلاسل مطوية folded chain - تطبي مفهوماً واضحاً للعلاقة بين التركيب الدقيق للبلورات وخصائصها الفيزيائية . ومن أمثلة الألياف العضوية ذات قوة التحمل العالية الـ high-performance organic fibres نجدتها في ألياف الـ PPT .

ونذكر هنا الكفلار والتاورون وهي أسماء تجارية لألياف الـ PPT . ولألياف الكفلار خواص فيزيائية متميزة، فمثلاً لها قوة شد عالية ومنحنى الإجهاد - الانفعال لهذه الألياف يمثله خط مستقيم ويوضح سلوكها مننا (elastic) عند تمديد extension صغير جداً . وحيث إن ألياف الكفلار لها قوة شد نسبي - نسبة قوة الشد إلى وزنها النوعي - متميزة ، فإنها تستخدم كدعامات reinforcement للمواد المترابطة composite materials .

ولقد استخدم " Carter and Schenk " (١٩٧٥) حيوان الأشعة السينية والقياسات الضوئية - معامل الانكسار المزدوج - لربط الخواص الفيزيائية لهذا النوع من الألياف مع تركيبها ، وتوجد علاقة وثيقة بين معامل الإجهاد وترتيب الجزيئات حول المحور في هذه الألياف . واستخدمت حيوان الأشعة السينية عند قيم الزوايا الكبيرة (High-angle) لدراسة الترتيب المنتظم للنظام الشبكي lattice order .

وعين "Northolt" (١٩٧٤) أبعاد وحدة الخلية لألياف الـ PPT على أساس أنها أحاديث الميل monoclinic وفيها :

$$. a = 0.719 \text{ nm}, b = 0.518 \text{ nm}, c = 1.29 \text{ nm} \text{ and } \gamma = 90^\circ$$

وقدم "Dobb and McIntyre" (١٩٨٤) دراسة تفصيلية عن تركيب الألياف الـ PTT وخصائصها الفيزيائية .

وتقديم قيم معاملات الانكسار  $n^{\parallel}$  و  $n^{\perp}$  طريقة مناسبة لمعرفة ترتيب الجزيئات في اتجاه محور الشعيرة وفي الاتجاه العمودي عليه ، بينما تقدم قيم معاملات الانكسار المزدوج طريقة لتقدير درجة انظام وتقرب وتباعد الجزيئات في كل منطقة من مناطق الألياف متباينة الخواص الفيزيائية . وغالباً ما تضاف هذه القياسات الفيزيائية إلى نتائج طرق الفحص الأخرى باستخدام حبيبات الأشعة السينية والميكروسكوب الإلكتروني وطيف الأشعة تحت الحمراء لتعطي صورة متكاملة عن تركيب الألياف .

ولقد حسب "Hamza and Sikorski" (١٩٧٨) قيم معاملات الانكسار والانكسار المزدوج للألياف الـ PPT ، واستخدما ميكروسكوب التداخل الضوئي لبلوتاً مع الضوء الأبيض والضوء أحادي طول الموجة المستقطب في الاتجاهين ، الموازي لمحور الشعيرة والعمودي عليه - انظر الفصلين الخامس والتاسع - وقيسوا معاملات الانكسار والانكسار المزدوج للألياف الكفلار ٤٩ باستخدام سائل معامل انكساره  $n_L = 1.656$  وضوء أحادي طول الموجة ، وكانت النتائج كالتالي :

$$n^{\parallel} = 2.267, n^{\perp} = 1.605 \text{ and } \Delta n = 0.662$$

وذلك عند طول الموجة  $\lambda = 465$  نانومتر . ويلاحظ أن قيمة الانكسار المزدوج عالية جداً بالمقارنة بالألياف الأخرى التقليدية .

وناقش المؤلفان النتائج النظرية والتجريبية لمعاملات انكسار مادة الكفلار . ويعطي الجدول رقم (١٣) قيم معاملات الانكسار  $n$  والانكسار المزدوج  $n$   $\Delta$  لبعض الألياف الطبيعية والتركيبية .

جدول رقم (١٣) : معاملات الانكسار  $n^{\parallel}$  و  $n^{\perp}$  والانكسار المزدوج  $\Delta n$  لبعض الألياف الطبيعية والتركيبية :

Fibre	$n^{\parallel}$	$n^{\perp}$	$\Delta n$	Reference
Cotton	1.578	1.532	0.046	Preston (1933)
Ramie and flax	1.596	1.528	0.068	preston (1933)
Viscose rayon	1.539	1.519	0.020	Preston (1933)
Viscose rayon (skin) (core)	1.5563 1.5536	1.5282 1.5304	0.0281 0.0234	Faust (1952) Faust (1952)
Viscose rayon (skin) (core)	1.5453 1.5441	1.5226 1.5247	0.0227 0.0194	Barakat and Hindle (1964)
Wool	1.557	1.547	0.010	Hartshorne and Stuart (1970)
Polyethylene	1.574	1.522	0.052	Hartshorne and Stuart (1970)
Polypropylene	1.530	1.496	0.034	Hartshorne and Stuart (1970)
Acrilan	1.517	1.519	-0.002	Barakat and El-Hennawi (1971)
Acrilan	1.511	1.514	-0.003	Hartshorne and Stuart (1970)
Nylon 6	1.575	1.526	0.049	Hartshorne and Stuart (1970)
Nylon 6 (skin) (core)	1.5533 1.5512	1.5448 1.5430	0.0085 0.0082	Hamza et al (1985b) Hamza et al (1985b)
Nylon 66	1.578	1.522	0.056	Hartshorne and Stuart (1970)
Terylene	1.706	1.546	0.160	Hartshorne and Stuart (1970)
Dralon	1.5201	1.5234	-0.0033	Hamza et al (1985b)
Kevlar 49	2.267	1.605	0.662	Hamza and Sikorski (1978)

### ٣/٢/٣ - التركيب الطبيعي للألياف التركيبية :

Layer structure in synthetic fibres

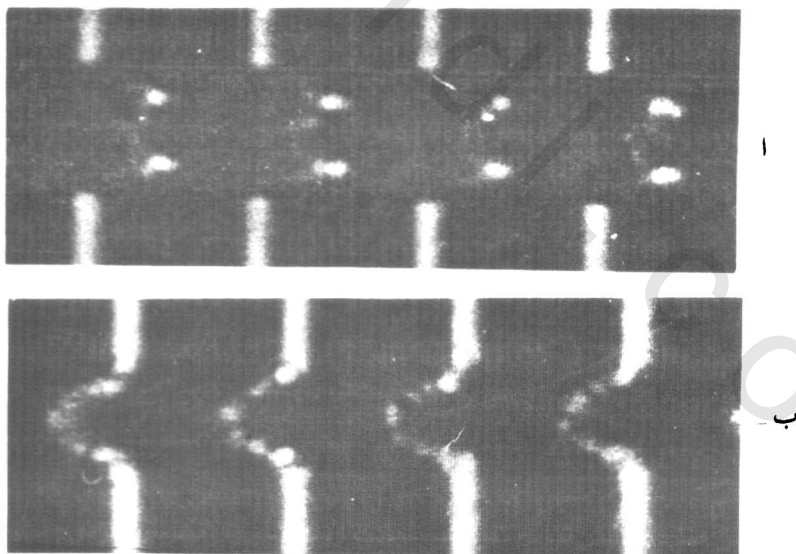
استخدم "Hamza and Kabeel" (١٩٨٦) هدب التداخل الضوئي المتعدد لفيزو لقياس معاملات الانكسار والانكسار المزدوج لألياف البولي بروبيلين . وقيس إزاحات هذه الهدب في الطبقات المختلفة التي تكون الألياف غير المسحوبة undrawn وعزم معامل الانكسار لكل طبقة . ويبين الشكل (١٣) صورة هدب التداخل الضوئي المتعدد لفيزو عند النفاذ لألياف البولي بروبيلين ، واستخدم في هذه التجربة ضوء مستقطب أحادي طول الموجة ( $\lambda = 646.1$  نانومتر) يتذبذب في مستوى (أ) مواز لمحور الشعيرة ، (ب) عمودي على محورها . وإجراء هذه التجربة استخدم مسطحان ضوئيان مفضضان ، يميل أحدهما على الآخر ويحصران بينهما سائلان (معامل انكسار مادته  $1.5015$  عند درجة حرارة  $22.5^{\circ}\text{C}$ ) غمرت فيه شعيرة . ولوحظ وجود ثلاث طبقات تكون الشعيرة ظهرت من تتبع هدب التداخل الضوئي عبر الشعيرة .

ونقتصر هنا على نك تنتائج تعين معاملات الانكسار والانكسار المزدوج لكل من الثلاث طبقات فقط ، حيث إن تطبيق نظرية هدب التداخل الضوئي المتعدد لفيزو على الألياف متعددة الطبقات سوف ترد بالتفصيل في الفصل السادس . ويحتوى الجدول رقم (٢/٣) على قيم معاملات الانكسار والانكسار المزدوج لكل طبقة من طبقات ألياف البولي بروبيلين باستخدام ضوء ذات طول موجة  $\lambda = 646$  نانومتر عند درجة حرارة  $22.5^{\circ}\text{C}$  ، ومنه يتضح أن أنصاف قطرات الطبقات الثلاث هي :

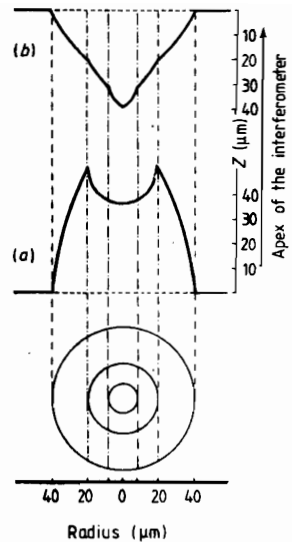
$$r_1 = 36.3 \mu\text{m}, \quad r_2 = 18.8 \mu\text{m} \quad \text{and} \quad r_3 = 9.6 \mu\text{m}.$$

حيث  $r_2$  هي نصف القطر الخارجى للشعيرية .

وكما هو موضح في الفصل السادس الآتى فإن كل طبقة تساهم في إزاحة الهببة التي مقدارها  $Z$  خلال المقطع العرضي للشعيرية والممتدة بمقدار  $X$  مقاسة من منتصف الشعيرية ، وتظهر على شكل نصف قطع ناقص على المستوى (Y, X) ، حيث تتكون هدب التداخل الضوئي . ويبين الشكل رقم (٢/٣) إزاحة الهببة عند استخدام الضوء أحادى طول الموجة ، ويتبين في كلا الاتجاهين الموازي والعمودي على محور الشعيرية على الترتيب .



شكل رقم (١/٢) : هدب التداخل المتعدد عبر ألياف البولي بروبيلين ، ويوضح وجود التركيب الطيفي للشعيرية على هيئة ثلاثة طبقات باستخدام ضوء أحادى الطول الموجي ويتبين (ا) في مستوى مواز لمحور الشعيرية ، (ب) في مستوى عمودي على محورها (من Hamza and Kabeel, 1986)



شكل رقم (٢/٢) : منحنى تغير إزاحة البهبة  
مع البعد عن مركز الشعيرة باستخدام ضوء  
يتلذذب في مستوى (أ) موازي لمحور الشعيرة (ب)  
(Hamza and Kabeel, 1986 من عمودي عليه)

جدول رقم (٢/٣) : لقيم معاملات الانكسار والانكسار المزدوج للطبقات المكونة لالياف  
البولي بروبيلين عند استخدام ضوء أحادى طول الموجة عند  $146\text{ } \text{نـانـوـمـتر}$  ودرجة حرارة  
 $22.5^\circ\text{ مـ}$  :

(Hamza and Kabeel 1986)

The mean refractive indices and mean birefringence of the fibre +	Refractive indices and birefringence of fibre layers +					
	First layer (outer layer)			Second layer		Third layer (core)
Refractive index of liquid +, $n_L$	$n_a^{\parallel}$	$n_a^{\perp}$	$\Delta n_a$	$n_1^{\parallel}$	$n_1^{\perp}$	$\Delta n_1$
1.5015    1.5028    1.5001    0.0027	1.5032	1.5007	0.0025	1.5015	1.5000	0.0015
	$n_3^{\parallel}$	$n_3^{\perp}$	$\Delta n_3$			
	1.5014	1.4995	0.0019			

+ The error in measuring  $n_L$  using an Abbe refractometer is  $\pm 0.0002$ .

+ The error in  $n^{\parallel}$  and  $n^{\perp}$  is  $\pm 0.0007$ .

### ٣/٣- تركيب الألياف البصرية : The structure of optical fibres

#### ١/٢/٣- أنواع الألياف البصرية : Types of optical fibres

تتركب شعيرة الألياف البصرية في أبسط صورها من إسطوانتين من زجاج السيلييكا مختلفتين في الإشارة ومتحددين في المحور كما هو موضح في الشكل رقم (٣/٣) ، وهو

عبارة عن شعيرة ذات بروفيل معامل الانكسار من درجة واحدة step-index . ويعنى بذلك أن المنحنى الذى يمثل تغير معامل الانكسار عبر الشعيرة لبها وقشرتها core and cladding ، يتميز بثبات قيمة معامل انكسار لب الشعيرة بالإضافة الى ثبات معامل انكسار قشرتها ، وإن معامل انكسار مادة لب الشعيرة أكبر من معامل انكسار مادة قشرتها ، وتحتوى معظم الألياف البصرية على أكثر من طبقتين .

ويوضح الشكل رقم (٤/٣) شعيرة بصرية ذات لب متغير معامل الانكسار ، محاطة بقشرة معامل انكسارها ثابت القيمة ثم غطاء أو سترة Jacket بلاستيكية لحماية الشعيرة من الخدش ومسايبات الإتلاف الأخرى .

وتسمى الألياف المثلثة فى الشكل رقم (٤/٣) بالألياف البصرية متدرجة معامل الانكسار GRIN (graded index) ، حيث يتناقص معامل انكسار لب الشعيرة على امتداد نصف القطر كلما بعد الموضع عن مركز الشعيرة ، وتكون أقصى قيمة لمعامل الانكسار عند محور الشعيرة .

ويوضح الشكل رقم (٥/٢) المقطع العرضي وبروفيل معامل الانكسار لبعض أنواع الألياف البصرية وكذلك أبعاد لب وقشرة الشعيرات .

وفيما يلى أنواع الألياف البصرية :

أ- ألياف ذات بروفيل معامل الانكسار من درجة واحدة ، وهى عبارة عن إسطوانة من مادة عازلة وضعفت فى الهواء ، رقم (أ) فى الشكل (٥/٣) .

ب- ألياف بصرية عديدة المنوال ذات بروفيل معامل الانكسار من درجة واحدة ، « رقم (ب) فى الشكل (٥/٣) ».

ج- ألياف بصرية وحيدة المنوال ذات بروفيل معامل الانكسار من درجة واحدة ، « رقم (ج) فى الشكل (٥/٣) ».

د- ألياف بصرية يأخذ فيها بروفيل معامل الانكسار الشكل W ، ويحاط لب الشعيرة بقشرتين ، الداخلية معامل انكسارها  $n_1$  والخارجية معامل انكسارها  $n_2$  ، حيث  $n_2 > n_1$  « رقم (د) فى الشكل (٥/٣) » .

هـ- ألياف بصريّة متدرجة معامل الانكسار ومعدية المنوال ، وفيها معامل انكسار لب الشعيرة ( $n$ ) يتغير بتغيير البعد  $r$  عن مركز الشعيرة طبقاً للمعادلة :

$$n^2(r) = n^2(0) \left[ 1 - \Delta_1 \left( \frac{r}{a} \right)^\alpha \right]$$

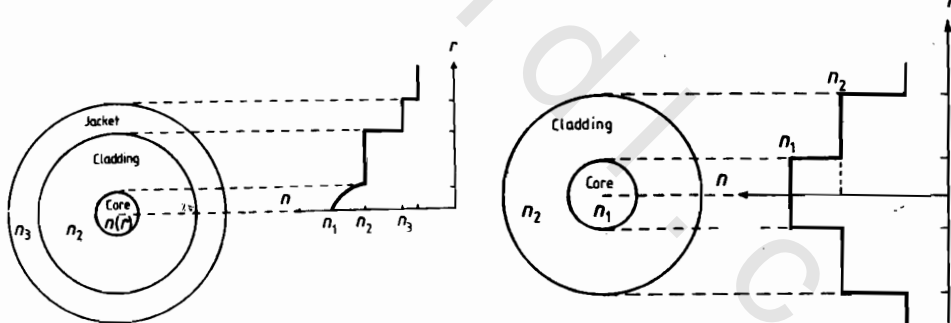
حيث

$$\Delta_1 = \frac{\Delta^2}{n^2(0)} = \frac{n^2(0) - n_1^2}{n^2(0)}$$

وتأخذ  $\alpha$  القيم :  $1.5 < \alpha < 2.5$

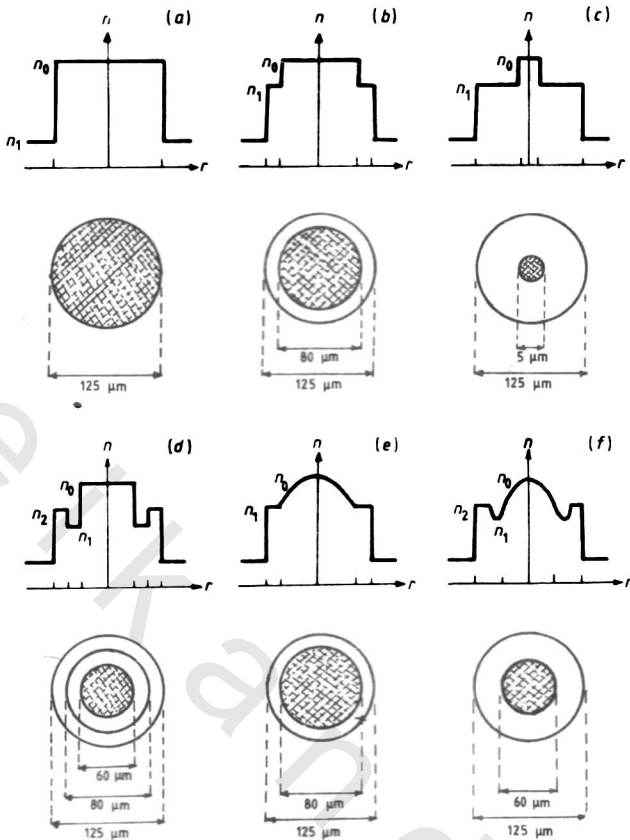
وتكون أعلى قيمة لمعامل الانكسار ( $n$ ) عند محور الشعيرة ، وهذه الألياف ممثلة في رقم (م) في الشكل (٥/٣) .

وـ ألياف بصريّة ذات لب متدرج معامل الانكسار ، ويأخذ فيها بروفيل معامل الانكسار الشكل W ، « رقم (و) في الشكل (٥/٣) » .



شكل رقم (٤/٣) : مقطع عرضي لشعيرة ذات بروفيل متدرج لمعامل انكسار لبها يوضح شكل تغيره وثبات معامل انكسار قشرتها .

شكل رقم (٣/٢) : مقطع عرضي لشعيرة ذات بروفيل معامل انكسار من درجة واحدة توسيع ثبات معامل انكسار لب الشعيرة وقشرتها .



شكل رقم (٥/٣) : مقاطع عرضية في أبعاد وبروفيل معامل الانكسار لأنواع مختلفة من الألياف البصرية  
. (From Costa, 1980)

وتحدد البارامترات الآتية خصائص الألياف البصرية ذات بروفيل معامل الانكسار من  
درجة واحدة : step-index

نصف قطر لب الشعيرة (a) ، الاتساع العددي (NA) الذي numerical aperture (NA) يعرف بالمعادلة :

$$NA = (n_0^2 - n_1^2)^{\frac{1}{2}}$$

حيث  $n_0$  معامل انكسار مادة لب الشعيرة ،  $n_1$  معامل انكسار مادة قشرة الشعيرة .

وترتبط قيمة الاتساع العددي بأقصى زاوية قبول maximum acceptance للأشعة  
الداخلة للشعيرة بالبارامتر V الذي تعطيه المعادلة :

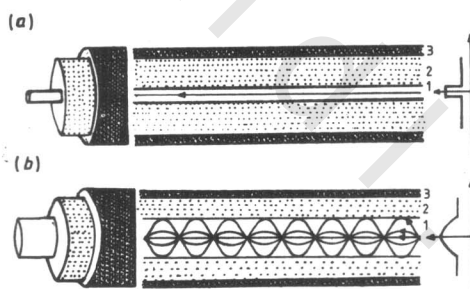
$$V = \frac{2\pi a}{\lambda} \left( n_0^2 - n_1^2 \right)^{\frac{1}{2}}$$

حيث  $\lambda$  هي طول موجة الضوء .

وفي الواقع العملي تكون قيم  $\Delta$  أقل بكثير من الواحد الصحيح وغالباً ما تساوى ٢٠٠ أو أقل .

والألياف البصرية عديدة المعاوٍ هي موجهات للموجة التي تحتوى على عدة معاوٍ للانتشار ، وتكون لهذه المعاوٍ أو النهاج مجالات لها توزيع ثوري ، وعند تجمعها تحصل على توزيع أي مجال مسمى بـ داخل الشعيرة ، وبين الشكل رقم (٦/٣) مسار الموجات الصوتية في هذه المعاوٍ .

وتوجد ثلاثة مناطق تمثل اللب والقشرة والسترة البلاستيك على الترتيب ، ويوضح الشكل (أ) شعيرة وحيدة المعاوٍ بينما يوضح الشكل (ب) شعيرة متدرجة معامل الانكسار وعديدة المعاوٍ .



شكل رقم (٦/٣) انتشار الموجات الصوتية في (أ) شعيرة وحيدة المعاوٍ ذات بروفييل معامل انكسار من درجة واحدة (ب) شعيرة متدرجة معامل الانكسار وعديدة المعاوٍ .

### ٣/٣- الخصائص التركيبية للألياف البصرية :

Compositional characteristics of optical fibres

تكون الألياف البصرية المستخدمة في التراسل الصوتي - غالباً - من نوعين أولهما وحيد المعاوٍ والأخر متدرج معامل انكسار لها ومتعددة المعاوٍ . وفي النوع الأخير يتكون

لب الشعيرة من زجاج السيليكا المشاب ببعض العناصر فيتغير معامل انكسار أكسيد السيليكون ( $n = 1.450$  at  $\lambda = 1.0 \mu\text{m}$ ) بأشانته مواد مثل أكسيد الجermanium والفوسفور والبوريون - Rigterink, 1975 .

فالإشباه بالجرمانيوم . Payne and MacChensey et al., 1974 أو الفوسفور – Gambling 1974 ترفع قيمة معامل انكسار أكسيد السيليكون ، أما الإشباه بالبوريون فتختفي هذه القيمة - French et al., 1973 .

وتوجه الألياف البصرية الموجات الضوئية إذا كانت مادة لها ذات معامل انكسار أكبر من معامل انكسار مادة قشرتها - Marcuse, 1972 – لذلك فإن معظم الألياف البصرية تتكون من قشرة من أكسيد السيليكون النقي ولب ازداد معامل انكساره بأشانته بأكسيد الجermanium أو الفوسفور أو في بعض الألياف تشاب مادة القشرة بأكسيد البوريون لتقل معامل انكسار مادتها بالنسبة للبها غير المشاب .

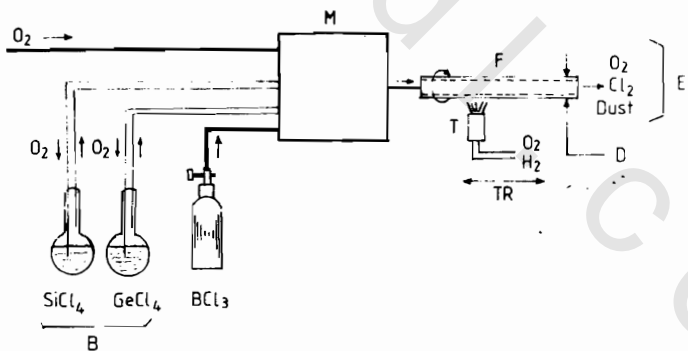
وتلعب مواد الإشباه دورا هاما ، حيث إنه بزيادة تركيز هذه المواد تزيد زاوية القبول acceptance angle للشعيرة وكذلك الاتساع العددي numerical aperture لها . ومن ناحية أخرى فإن زيادة مواد الإشباه تزيد من التغيرات في تركيب المادة وينتج عن ذلك فقد (في الضوء) عن طريق مسببات التشتت ، كما ينتج مساعيرات تكتولوجية في عملية تكوين الشعيرة نتيجة اختلاف في الخواص الفيزيائية لب الشعيرة عن الخواص الفيزيائية للقشرة – Marcuse and Presby, 1980 – ويصل الفرق في معاملات الانكسار بين اللب والقشرة في الألياف المشابة بالجرمانيوم إلى  $0.2 \times 10^{-3}$  وتقوم صناعة الألياف البصرية ذات بروفيل معامل الانكسار من درجة واحدة ، وكذلك متدرجة معامل الانكسار على استخدام الطريقة الكيميائية المعدلة ، وذلك بترسيب الأبخرة Mac Chensey et al., 1974 - MCVD .

وفي عام (١٩٧٩) تم الحصول على ألياف يصل فيها الفقد إلى  $2 \times 10^{-3}$  ديسبل لكل كيلومتر  $0.2 \text{ dB km}^{-1}$  عند الطول الموجي  $\lambda = 1.55 \text{ ميكرومتر} - Miya et al., 1979$  وتتضمن طريقة MCVD عمليتين : أولاهما : إنتاج قوالب (preform) ذات تركيب معين ، ويكون من لب وقشرة لها مواصفات الشعيرة ويأقطار تتراوح بين  $5 \text{ و } 2 \text{ سم}$  وطول بضعة سنتيمترات ، ثم إنتاج الشعيرات عن طريق سحبها من هذه القوالب باستخدام فرن

كهربائى . ويكون قطر مقطع هذه القوالب هو حوالى ٧ ملليمتر أو يزيد ، بينما قطر الشعيرة يساوى  $125 \pm 1$  ميكرومتر .

وحيث إننا بصدد دراسة الخواص التركيبية للألياف البصرية فمن المفيد إعطاء فكرة عن الطريقة الكيميائية المعدلة لتحضير هذه الألياف بترسيب الأبخرة MCVD - (شكل رقم ٧/٣) - وفي هذه الطريقة يتم تركيب أنبوبة من الكوارتز على مخرطة glass-working lathe تدار ببطء ، بينما تنساب المواد المتفاعلة (كلوريد السيليكون  $\text{SiCl}_4$  ومواد الإشابة  $\text{GeCl}_4, \text{BCl}_3$ ) يحملها تيار من الأكسجين . ويستخدم لهب الأوكسى هيدروجين لترسيب وصهر طبقات المواد في نفس الوقت ، وذلك بتحريكه على امتداد الأنبوية الخارجية ، وترسب حوالي خمسين طبقة بتكرار إمداد اللهب .

ولتحضير ألياف بصرية ذات بروفييل معامل الانكسار من درجة واحدة يثبت تركيز مادة الإشابة لكل الطبقات المرسبة ، بينما في حالة الألياف البصرية متدرجة معامل الانكسار فيزداد تركيز مواد الإشابة مع زيادة عدد الطبقات ، وتؤدي إلى انخفاض قيمة معامل الانكسار مع زيادة البعد عن المحور . وفي نهاية العملية ترتفع درجة حرارة اللهب فيحدث انصهار لأنبوبة collapse ونحصل على القوالب الجامدة . وتسحب الألياف من القوالب في المرحلة الأخيرة .



شكل رقم (٧/٣) : رسم تخطيطي يوضح عملية التحضير بالطريقة الكيميائية المعدلة بترسيب الأبخرة (MCVD) ، حيث F أنبوبة من الكوارتز المنصهر D طبقة مرسبة من الزجاج ، M مقاييس ، TR اتجاه حركة المقد .

ولاختبار تركيب الطبقات المكونة لل قالب استخدم "Marcuse and Presby" (١٩٨٠) الميكروسكوب الإلكتروني الماسح لفحص نهاية الشعيرة بعمل نحر (تاكيل) etching لها ، وكانت نتيجة هذا الفحص احتفاظ الشعيرة بنفس التركيب الطبقي لها ، وأفاد المؤلفان بأن سمك كل طبقة في حالة الألياف التي فحصت أقل من طول الموجة ، وبإضافة إلى أن قيمة معامل الانكسار غير ثابتة في كل طبقة من الطبقات .

و كذلك درست الخواص التركيبية للقوالب والألياف البصرية المحضره بالطريقة الكيميائية المعدلة بترسيب الأبخرة Presby et al., 1975-MCVD - وذلك بطريقه التداخل الضوئي باستخدام شريحة على شكل قرص من الشعيرة interferometric slab method سيرد شرحها في الباب الخامس - وباستخدام الميكروسكوب الإلكتروني الماسح .

وقد أفاد المؤلفون أن التركيب الناتج من عملية الترسيب يوجد في جميع العمليات المتتابعة ويشير في الشعيرة بالإضافة إلى وجود انخفاض في معامل الانكسار عند مركز الشعيرة central dip . ويرجع الاحتفاظ بنفس بروفيل معامل الانكسار في الشعيرة التي سحبت من القالب ببروفيل معامل الانكسار القوالب ، وذلك نتيجة أن معامل الانكسار يزداد تبعاً لدالة خطية مع تركيز مواد الإشبابة في القالب وبنفس الطريقة .

كما درست شريحة عرضية من القالب preform ذات سمك يساوى حوالي ١٠ ملليمتر باستخدام ميكروسكوب التداخل الضوئي ، وحضرت عينات مماثلة من الشعيرات لفحص باستخدام ميكروسكوب التداخل الضوئي والميكروسكوب الإلكتروني الماسح (Burrus and Standly, 1974) ، ونتج عن هذه الدراسة وجود التركيب الطبقي في القالب preform الذي يمكن الاستدلال عليه عند استخدام ميكروسكوب التداخل الضوئي والكتروني الماسح .

- Presby et al., 1975 وأظهرت هدب التداخل الثنائي لشريحة من قالب الشعيرة-  
preform هدب التداخل الضوئي على هيئة خطوط مستقيمة ومتوازية في قشرة الشعيرة التي هي من مادة السيليكا النقية المصهورة ، مما يؤكد تجانس مادتها ، يلي ذلك طبقة من البوروسيليكيات معامل انكسار مادتها أقل من معامل انكسار مادة القشرة . وتعنى هذه الطبقة وصول أية مواد غريبة إلى لب الشعيرة وانتشارها . ويتم ترسيب مادة لب الشعيرة

بزيادة معدل سريان كلوريد الجرمانيوم  $\text{Ge Cl}_4$  الذي ينتج عنه ارتفاع محتوى أكسيد الجرمانيوم  $\text{Ge O}_2$  ، ومن ثم زيادة في معامل الانكسار طردياً مع زيادة سمك المادة المشابهة .

ولقد قام presby ومجموعته بزيادة عدد مرات ترسيب كلوريد الجرمانيوم إلى ١١ مرة ينتج عنها بروفيل معامل انكسار لب الشعيرة يتبع مسار قطع مكافئ اعتباراً من القشرة حتى مركز الشعيرة . وأوضحت خريطة صور التداخل الضوئي التركيب الطبقى داخل لب الشعيرة الناتج من كل رحلة ترسيب . وكانت نتيجة قياس الفرق في معامل انكسار مادة القشرة وأعلى قيمة لمعامل انكسار لب الشعيرة عند محورها يعطى قيمة  $\Delta n = 0.16$  كما أفاد المؤلف أن قدرة ميكروسكوب التداخل الضوئي على فصل المعالم الدقيقة لم تكن كافية لتحديد طبقات لب الشعيرة كلاً على حدة . ولقد استخدم المؤلف ميكروسكوب الكترونى ماسح لتحديد هذه الطبقات .

جدير بالذكر أن برکات ومجموعته - Barakat et al., 1988 - باستخدام هدب التداخل الضوئي المتعدد أمكن أن يحددوا طبقات لب الشعيرة متدرجة معامل الانكسار ويعينوا سمك كل طبقة ومعامل انكسار مادتها . مما يوضح قدرة هدب التداخل الضوئي المتعدد على تحديد المعالم التركيبية الدقيقة بالمقارنة بهدب التداخل الضوئي الثاني - ويبين الشكل (٨/٣) صورة هدب التداخل الضوئي موضحاً بها التركيب الطبقى للب الشعيرة - ووجد أن الشعيرة تتربك من طبقات متعاقبة لها معاملات انكسار متزايدة بشكل تدريجي ، حيث  $n(r)$  تظل قيمتها ثابتة لسمك الطبقة  $a$  ، ولكنها تتبع العلاقة المعروفة التي تربط  $(r)$  مع المسافة من مركز لب الشعيرة  $r$

$$n(r) = n_0 \left[ 1 - 2 \Delta \left( \frac{r}{a} \right)^\alpha \right]^{1/2} \quad 0 \leq r \leq a \quad (3.1)$$

حيث  $a$  نصف قطر لب الشعيرة .

وكذلك فإن  $\Delta$  تعطيها المعادلة :

$$\Delta = (n^2(o) - n^2(a)) / 2 n^2(o)$$

$\alpha$  هو بارامتر يحدد شكل بروفيل معامل الانكسار .

وقد تم دراسة هذا البروفيل في الألياف متدرجة معامل الانكسار GRIN نظرياً وأثبتت النتائج تجريبياً من صور التداخل الضوئي . وقسم نصف قطر لب الشعيرة إلى طبقات أو مناطق عددها  $m$  وعرض كل منها  $\Delta r$  وتمثل  $r_m$  نصف قطر الطبقة  $m$

$$0 = r_0 < r_1 < r_2 \dots < r_{m-1} < r_m = a$$

$$(r_m - r_{m-1}) = \frac{a}{m} = \Delta r = \text{constant}.$$

ويتبع معامل الانكسار العلاقة :

$$n(0) = n_{r0} > n_{r1} > \dots > n_{rm} = n_a = n_{\text{clad}}$$

وكذلك فإن :

$$n(r) = f(r)$$

هي المعادلة الأساسية للب الشعيرة في الألياف الـ GRIN .

ويمكن استنتاج قيم  $r_m$  لجميع قيم  $m$  من المعادلة (١-٢) وقيمة إزاحة الهبة الناتجة من عدة طبقات  $m$  المكونة للب الشعيرة ، بالإضافة إلى قشرة الشعيرة يعطى بالتجمیع summation ، وتشارك كل طبقة بنصف قطع ناقص الطول النصفی لمحوريه الأساسين semi-principal axis مما :

$$\left\{ r_f, \frac{4 \Delta Z}{\lambda} (n_{\text{clad}} - n_L) r_f \right\}, \left\{ a, \frac{4 \Delta Z}{\lambda} (n_{r_{m-1}} - n_{\text{clad}}) a \right\}, \\ \left\{ r_{m-1}, \frac{4 \Delta Z}{\lambda} (n_{r_{m-2}} - n_{r_{m-1}}) r_{m-1} \right\}, \dots$$

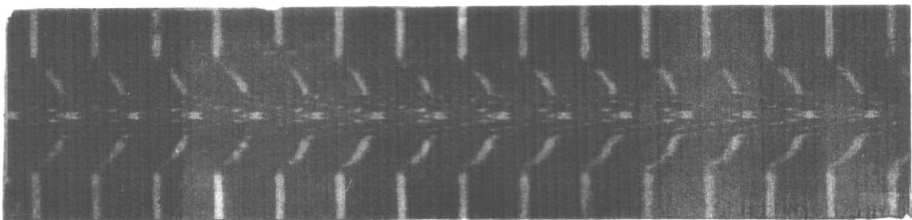
كما هو موضح في الفصل السادس .

والشكل (أ/٨٣) يبين صورة التداخل الضوئي المتعدد لشعيرة من الألياف الـ GRIN سمكها  $1 \mu\text{m} = 125 \pm 4$  . وتظهر الهبة على شكل خطوط مستقيمة ومتوازية وهي توافق حافة الإسفين الضوئي wedge المكون من مسطحين ضوئيين مفخضتين يميل

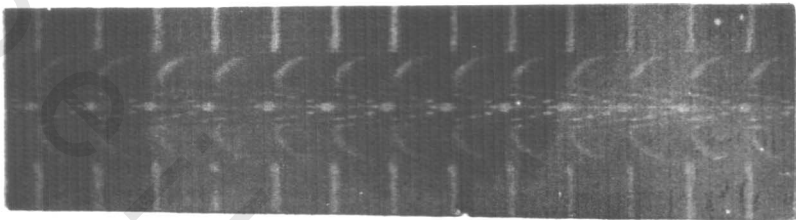
أحدما على الآخر ، ويحصران بينهما سائلًا غمرت فيه الشعيرة ، وكانت المسافة بين كل مدبتين متاليتين هي  $Z$  . وعندما تعبر الهدبة السطح الفاصل بين السائل وقشرة الشعيرة تتبع مسارا على شكل جزء من قطع ناقص (ماعدا حالة تساوى معامل انكسار السائل مع معامل انكسار مادة قشرة الشعيرة  $n_L = n_{clad}$  حيث تستمر الهدبة في نفس الاتجاه) . وعندما تعبر الهدبة منطقة لب الشعيرة فإنها تظهر مراحل متقطعة discontinuities ومتتابعة ، وينتج ذلك عن التغير المفاجئ في بروfil معامل الانكسار للطبقات المتتابعة المحتوية على نسب معينة من مواد الإشارة ، ويلاحظ أن هذا التقطع في الهدب يوجد فقط في منطقة لب الشعيرة ولجميع رتب التداخل الضوئي التي تظهر خلال هذا اللب وعلى طول الشعيرة . ويظهر هذا التأثير باستخدام سوائل لها معاملات انكسار  $n_L$  مختلفة (شكل  $\frac{8}{3}$ /ب) ، وتسمح هدب التداخل الضوئي في المستوى  $X,Z$ - حيث تكون الهدب - بحساب كل من  $\alpha$ ,  $\Delta n$  بطريقة الـ Barakat et al., (1985) invariance - ويوضح الشكل  $(\frac{9}{3})$  بروfil معامل الانكسار متعدد الدرجات . ويحدد امتداد كل طبقة من صورة التداخل الضوئي في المستوى  $(X,Z)$  بإسقاط جزء الهدبة على المحور  $X$  ، ووجد أن :

$$r_m - r_{m-1} = \Delta r = 0.1a = 2.5 \mu\text{m}$$

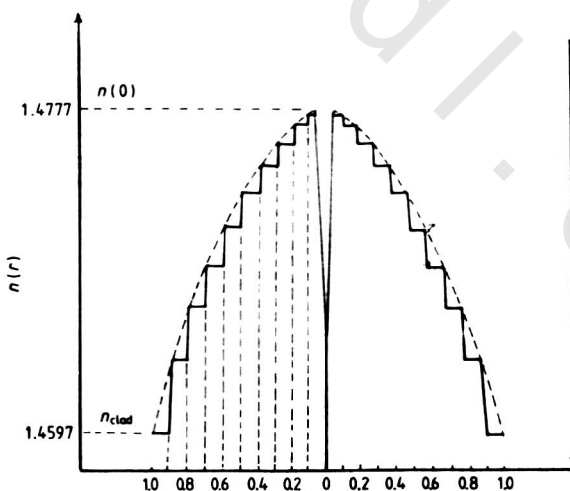
ونصف قطر لب الشعيرة ( $a$ ) يساوى ٢٥ ميكرومتر  $10^{-6}$  متر  $(n_{r_{m-1}} - n_{r_m})$  ، تقل نحو المركز في درجات كل منها يساوى ٢٠ . . . . .



ب



شكل رقم (٨/٣) : خريطة مد التداخل الضوئي المتعدد وفيه تم فصل وتحديد الطبقات المكونة للب الشعيرات لـ  $n(0) = 1.4623$  ،  $n_{clad} = 1.4588$  ، الصورة (أ) ،  $n(0) = 1.4697$  ،  $n_{clad} = 1.4597$  ، الصورة (ب) .



شكل رقم (٩/٢) : يوضح بروفيل لمترادفة معامل الانكسار ويظهر فيها الشكل الهرمي المتدرج وكذلك انخفاض معامل الانكسار عند مركز الشعيرة .

## References

- Barakat N and El-Hennawi H A 1971 *Textile Res. J.* **41** 391
- Barakat N, El Hennawi H A and El-Diasti F 1988 *Appl. Opt.* **27** 5090
- Barakat N, Hamza A A and Goneid A S 1985 *Appl. Opt.* **24** 4383
- Barakat N and Hindleah A M 1964 *Textile Res. J.* **34** 581
- Bunn C W 1949 The optical properties of fibres in "Fibre Science" ed. J M Preston (Manchester : The Textile Institute) pp 144-57
- \_\_\_\_\_ 1961 *Chemical Crystallography - An Introduction to Optical and X-Ray Methods* (Oxford : Oxford University Press) pp 304-22
- Bunn C W and Daubeny P 1954 *Trans. Faraday Soc.* **50** 1173
- Burrus C A , Chinnock E L, Gloge D, Holden W S, Tingue Li, Standley R D and Keck D B 1973 *Proc. IEEE* **61** 1498
- Burrus C A and Standley R D 1974 *Appl. Opt.* **13** 2365
- Carter G B and Schenk V T J 1975 Ultra-high modulus organic fibres in "Structure and Properties of Oriented Polymers" ed. I M Ward Ch. 13 (London : Applied Science) pp 454-92
- Costa B 1980 The optical fibre in "Optical Fibre Communication", Technical Staff of CSELT (New York : McGraw-Hill) pp 1-46
- Denbigh K G 1940 *Trans. Faraday Soc.* **36** 936
- Dobb M G and McIntyre J E 1984 *Adv. Polym. Sci.* **60/61** 61
- Faust R C 1952 *Proc. Phys. Soc. B* **65** 48
- Françon M 1961 *Progress in Microscopy* (Oxford : Pergamon)
- French W G, Pearson A D, Tasker G W and MacChesney J B 1973 *Appl. Phys. Lett.* **23** 338
- Hamza A A and Kabeel M A 1986 *J. Phys. D : Appl. Phys.* **19** 1175
- Hamza A A and Sikorski J 1978 *J. Microsc.* **113** 15
- Hamza A A, Sokkar T Z N and Kabeel M A 1985 a *J. Phys. D: Appl. Phys.* **18** 1773
- \_\_\_\_\_ 1985b *J. Phys. D: Appl. Phys.* **18** 2321
- Hartshorne N H and Stuart A 1970 *Crystals and the Polarizing Microscope* (London : Edward Arnold) pp 556-88
- Keller A 1968 *Rep. Prog. Phys.* **31** 623
- Kita H, Kitano I, Uchida T and Furukawa M 1971 *J. Am. Ceramic Soc.* **54** 321

- Kuhn W and Grün F 1942 *Kolloidzchr.* **101** 248
- MacChesney J B O, Connor P B and Presby H M 1974 *Proc. IEEE* **62** 1280
- Marcuse D 1972 *Light Transmission Optics* (New York : Van Nostrand Reinhold)
- Marcuse D and Presby H M 1980 *Proc. IEEE* **68** 668
- Meredith R and Hearle J W S 1959 *Physical Methods of Investigating Textiles* (New York : Interscience).
- Miya T, Terunuma Y, Hosaka T and Miyashita T 1979 *Electron. Lett.* **15** 106
- Northolt M G 1974 *Europ. Polym. J.* **10** 799
- Payne D N and Gambling W A 1974 *Electron. Lett.* **10** 289
- Presby H M, Standley R D, MacChesney J B and O'Connor P B 1975 *Bell Syst. Tech. J.* **54** 1681
- Preston J M 1933 *Trans. Faraday Soc.* **29** 65
- Rigterink M D 1975 *Tech. Dig. Topical Meet. Optical Fibre Transmission* Jan. 7-9, Williamsburg, VA
- Stoves J L 1957 *Fibre Microscopy* (London : National Trade Press)
- Wells O C 1974 *Scanning Electron Microscopy* (New York : McGraw-Hill).